



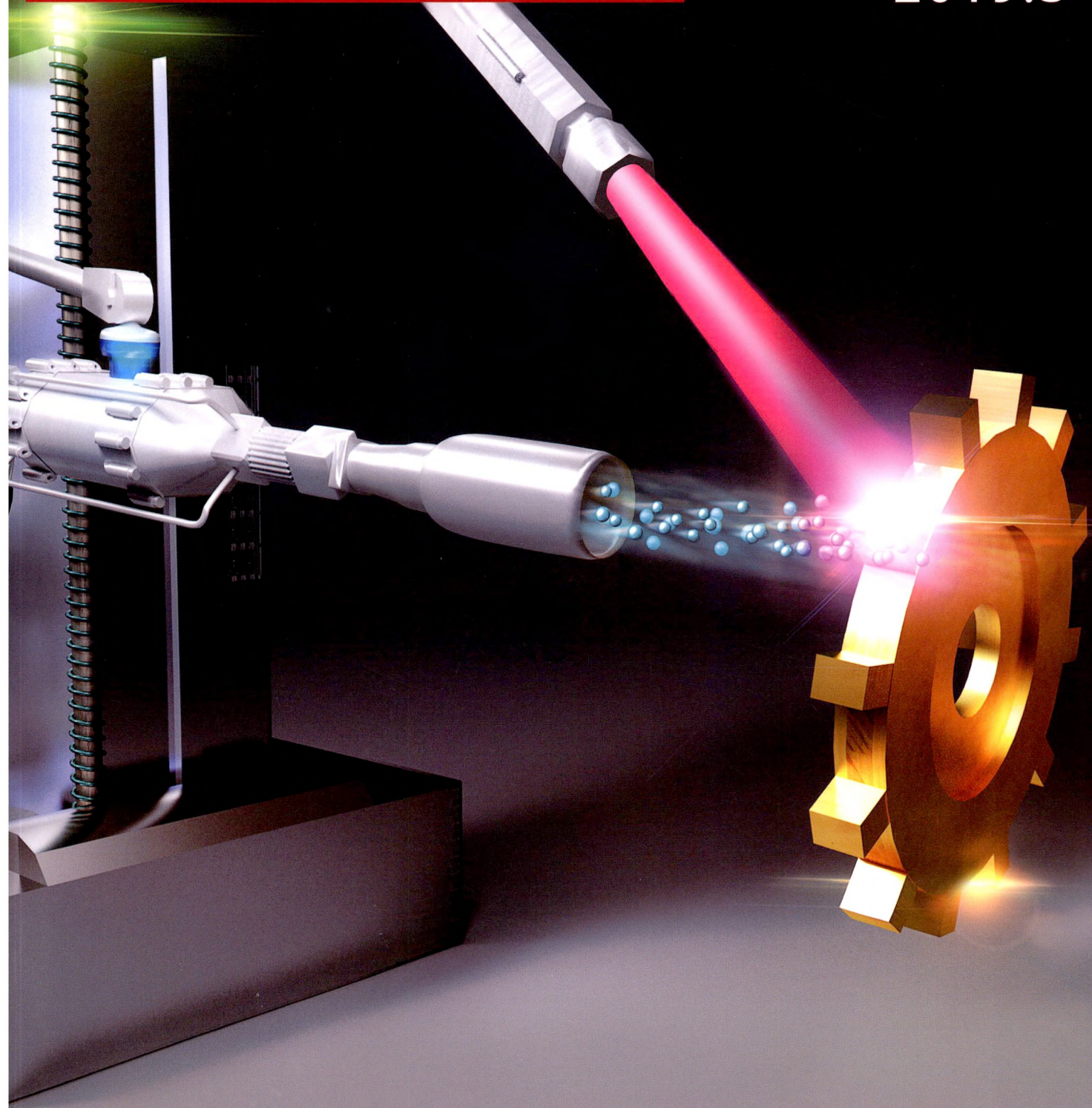
中国激光

Chinese Journal of Lasers

[总第507期]

第46卷 | 第3期
Vol. 46 | No. 3

2019.3



ISSN 0258-7025



9 770258 702193
万方数据

中国科学院上海光学精密机械研究所
中国光学学会 主办

中国激光

第46卷 第3期 2019年3月

(总第507期)

目 次

· 综述 ·

超音速激光沉积技术:研究现状及发展趋势(封面文章) 姚建华, 吴丽娟, 李波, 等 0300001

· 激光器件与激光物理 ·

垂直腔面发射激光器氧化孔结构对器件激光性能的影响 梁静, 贾慧民, 冯海通, 等 0301001

· 激光制造 ·

Cu-Al-Ni-Ti 合金激光选区成形工艺及其力学性能 田健, 魏青松, 朱文志, 等 0302001

基于全卷积神经网络的焊缝特征提取 张永帅, 杨国威, 王琦琦, 等 0302002

送粉式激光增材制造 TC4 钛合金熔覆层组织及电化学腐蚀行为的研究 冯晓甜, 顾宏, 周圣丰, 等 0302003

多脉冲激光冲击微胀形的成形极限及断裂模式 刘铮, 郑超, 宋立彬, 等 0302004

扫描速率对激光熔覆 Cu80Fe20 偏晶涂层组织与耐磨性能的影响 赵淑珍, 金剑波, 谢敏, 等 0302005

QP1180 高强钢薄板激光焊接接头的组织与成形性能 李学军, 黄坚, 潘华, 等 0302006

端接接头激光-MAG 复合焊熔滴过渡与气孔特征分析 雷正龙, 黎炳蔚, 周恒, 等 0302007

激光-钨极稀有气体电弧复合焊接等离子体的多重成像特征 王利达, 李敏, 邹江林, 等 0302008

GCr15 轴承钢表面的激光凹/凸微织构工艺 华希俊, 张加力, 解玄, 等 0302009

亚微米 TiC/B₄C 颗粒对激光熔覆 Stellite 涂层组织及性能影响 何珊珊, 于治水, 张培磊, 等 0302010

基于紫铜填充中间层的黄铜激光焊接气孔控制 陈梅峰, 周广涛, 吴世凯, 等 0302011

5052 铝合金高频微振激光焊接疲劳性能及损伤行为 张巍, 卢庆华, 任新怀, 等 0302012

基于皮秒激光的超疏水镍铝青铜合金表面的制备 章泽斌, 花银群, 叶云霞, 等 0302013

激光工艺参数对激光熔化沉积纯钛样品残余应力的影响 孙洪吉, 韦靖, 郑兆宏, 等 0302014

基于响应面法的聚苯乙烯粉末选择性激光烧结成型工艺参数优化 郭然, 李浩, 李军超, 等 0302015

激光同轴送粉增材制造 TiAl 合金的性能 刘占起, 徐国建, 马瑞鑫, 等 0302016

· 材料与薄膜 ·

强激光辐照前后钕玻璃中铂金颗粒夹杂物的电子探针显微分析 程继萌, 温磊, 周秦岭, 等 0303001

· 测量与计量 ·

偏折术中相机和被测面坐标的获取 赵建岗, 李大海, 李磊, 等 0304001

- 双色激光诱导炽光法结合光腔衰荡光谱技术测量碳烟颗粒的研究 王孟, 张焰峰, 陈军, 等 0304002

改进经验模态分解算法在光纤布拉格光栅周界入侵行为分类中的应用 陈勇, 安汪悦, 刘焕琳, 等 0304003

基于流体驱动的水下激光自主扫描近程方位探测方法 甘霖, 张合 0304004

飞秒激光跟踪仪跟踪光路的优化设计与分析 劳达宝, 崔成君, 王国民, 等 0304005

基于 iGPS 的复杂曲面三维形貌机器人柔性测量技术 刘丽, 马国庆, 高艺, 等 0304006

光刻机照明系统光瞳特性参数的评估算法 甘雨, 张方, 朱思羽, 等 0304007

· 光束传输与控制 ·

抽运光小尺度自聚焦对基于动态波前调控的径向匀滑效果的影响 李建龙, 翁小凤, 钟哲强, 等 0305001

· 光纤光学与光通信 ·

基于串行干扰消除的模分复用系统解复用 张天, 李莉, 胡贵军 0306001

平均波长对光纤陀螺度因数的影响 陈和宇, 郑月, 王夏霄, 等 0306002

· 非线性光学 ·

飞秒激光诱导 $0.3\sim2.0\text{ }\mu\text{m}$ 气溶胶的生成 胡兴凯, 翦晶晶, 李儒新, 等 0308001

· 全息与信息处理 ·

燃烧流场羟基示踪测速的噪声去除方法 邵珺, 叶景峰, 王晨, 等 0309001

基于边界限制加权最小二乘法滤波的雾天图像增强算法 李红云, 云利军, 高银 0309002

基于多焦点光子筛阵列的同轴相移全息技术 李优, 张军勇, 张艳丽, 等 0309003

· 光谱学 ·

近红外外差光谱温室气体柱浓度的探测方法 邓昊, 杨晨光, 管林强, 等 0311001

集成微区成像的激光诱导击穿光谱系统的光谱信号稳定性分析 王华东, 付洪波, 贾军伟, 等 0311002

基于激光诱导击穿光谱的茶叶品种快速分类 徐向君, 王宪双, 李昂泽, 等 0311003

光束整形对激光诱导击穿光谱稳定性的改善 贾军伟, 付洪波, 王华东, 等 0311004

基于支持向量机算法的多环芳烃表面增强拉曼光谱的定量分析 陈阳, 严霞, 张旭, 等 0311005

Fe^{3+} 对植酸封端的金纳米颗粒 SERS 性能的影响 张垒, 张霞, 柳晓钰, 等 0311006

· 微纳光学 ·

本刊电子版彩色效果请详见中国光学期刊网 www.opticsjournal.net

Chinese Journal of Lasers

Vol.46, No.3 (Series No.507) March 2019

CONTENTS

• Reviews •

Research States and Development Tendency of Supersonic Laser Deposition Technology (**Cover Paper**)

..... *Yao Jianhua, Wu Lijuan, Li Bo, et al.* 0300001

• Laser Devices and Laser Physics •

Influence of Oxide Aperture Structure on Lasing Performance for Vertical Cavity Surface Emitting Laser

..... *Liang Jing, Jia Huimin, Feng Haitong, et al.* 0301001

• Laser Manufacturing •

Selective Laser Melting Process and Mechanical Properties of Cu-Al-Ni-Ti Alloy

..... *Tian Jian, Wei Qingsong, Zhu Wenzhi, et al.* 0302001

Weld Feature Extraction Based on Fully Convolutional Networks

..... *Zhang Yongshuai, Yang Guowei, Wang Qiqi, et al.* 0302002

Microstructure and Electrochemical Corrosion Behavior of TC4 Titanium Alloy Cladding Layer Prepared with Powder Feeding Laser Additive Manufacturing *Feng Xiaotian, Gu Hong, Zhou Shengfeng, et al.* 0302003

Forming Limit and Fracture Mode in Multiple-Pulse Laser Shock Micro-Bulging Process

..... *Liu Zheng, Zheng Chao, Song Libin, et al.* 0302004

Effects of Scanning Speed on Microstructure and Wear Resistance of Cu80Fe20 Immiscible Coatings Prepared by Laser Cladding

..... *Zhao Shuzhen, Jin Jianbo, Xie Min, et al.* 0302005

Microstructure and Formability of Laser Welding Joint of QP1180 High-Strength Steel sheet

..... *Li Xuejun, Huang Jian, Pan Hua, et al.* 0302006

Analysis of Droplet Transfer and Porosity Characteristics in Laser-MAG Hybrid Welding of Edge Joint

..... *Lei Zhenglong, Li Bingwei, Zhou Heng, et al.* 0302007

Multiple Imaging Characteristics of Plasma in Laser-Tungsten Inert Gas Arc Hybrid Welding

..... *Wang Lida, Li Min, Zou Jianglin, et al.* 0302008

Laser Concave/Convex Micro-Texture Process of GCr15 Bearing Steel Surface *Hua Xijun, Zhang Jiali, Xie Xuan, et al.* 0302009

Effect of Sub-Micron TiC/B₄C Particle on Microstructures and Properties of Laser Cladded Stellite Coatings

..... *He Shanshan, Yu Zhishui, Zhang Peilei, et al.* 0302010

Controlling of Laser Welding Porosities of Brass Based on Filled Intermediate Layer of Copper

..... *Chen Meifeng, Zhou Guangtao, Wu Shikai, et al.* 0302011

Fatigue Properties and Fracture Behavior of 5052 Aluminum Alloys Welded by High Frequency Micro-Vibration Laser

..... *Zhang Wei, Lu Qinghua, Ren Xinhua, et al.* 0302012

Fabrication of Superhydrophobic Nickel-Aluminum Bronze Alloy Surfaces Based on Picosecond Laser Pulses

..... *Zhang Zebin, Hua Yinqun, Ye Yunxia, et al.* 0302013

Effects of Laser Process Parameters on Residual Stress of Pure Titanium Samples Prepared by Laser Melting Deposition

..... *Sun Hongji, Wei Jing, Zheng Zhaozhong, et al.* 0302014

Process Parameters Optimization of Polystyrene Powder Selective Laser Sintering Based on Response Surface Methodology

..... *Yan Ran, Li Hao, Li Junchao, et al.* 0302015

Properties of TiAl Alloy Prepared by Additive Manufacturing with Laser Coaxial Powder Feeding

..... *Liu Zhanqi, Xu Guojian, Ma Ruixin, et al.* 0302016

· Materials and Thin Films ·

- Electron Probe Micro-Analysis for Platinum Particle Inclusions in Nd:Glass Before and After Intense Laser Irradiation *Cheng Jimeng, Wen Lei, Zhou Qinling, et al.* 0303001

· Measurement and Metrology ·

- Method for Coordinate Acquisition of Camera and Measured Surface in Deflectometry ... *Zhao Jiangang, Li Dahai, Li Lei, et al.* 0304001
Measurement of Soot Particles by Two-Color Laser-Induced Incandescence Method Combined with Cavity Ring-Down Spectroscopy *Wang Meng, Zhang Yanfeng, Chen Jun, et al.* 0304002
Application of Improved Empirical Mode Decomposition Algorithm in Fiber Bragg Grating Perimeter Intrusion Behaviors Classification *Chen Yong, An Wangyue, Liu Huanlin, et al.* 0304003
Underwater Laser Autonomous Scanning Short-Range Azimuth Detection Method Based on Fluid-Driven *Gan Lin, Zhang He* 0304004
Optimal Design and Analysis of Tracking Optical Paths in Femtosecond Laser Tracker *Lao Dabao, Cui Chengjun, Wang Guomin, et al.* 0304005
Flexible Measurement Technology of Complex Curved Surface Three-Dimensional Shape Robot Based on iGPS *Liu Li, Ma Guoqing, Gao Yi, et al.* 0304006
Evaluation Algorithm of Pupil Characteristic Parameters in Lithography Illumination System *Gan Yu, Zhang Fang, Zhu Siyu, et al.* 0304007

· Beam Transmission and Control ·

- Influence of Small-Scale Self-Focusing of Pump Laser on Radial Smoothing Effect Based on Dynamic Wavefront Control *Li Jianlong, Weng Xiaofeng, Zhong Zheqiang, et al.* 0305001

· Fiber Optics and Optical Communications ·

- Demultiplexing of Mode-Division Multiplexing System Based on Successive Interference Cancellation *Zhang Tian, Li Li, Hu Guijun* 0306001
Influence of Mean Wavelength on Scale Factor of Fiber Optic Gyroscope *Chen Heyu, Zheng Yue, Wang Xiaoxiao, et al.* 0306002

· Nonlinear Optics ·

- Femtosecond Laser-Induced 0.3-2.0 μm Aerosol Formation *Hu Xingkai, Ju Jingjing, Li Ruxin, et al.* 0308001

· Holography and Information Processing ·

- Background Noise Suppress Method for Hydroxyl Tagging Velocimetry in Combustion Flow Field *Shao Jun, Ye Jingfeng, Wang Sheng, et al.* 0309001
Fog Image Enhancement Algorithm Based on Boundary-Limited Weighted Least Squares Filtering *Li Hongyun, Yun Lijun, Gao Yin* 0309002
In-Line Phase-Shifting Holography Technology Based on Multi-Focal Photon-Sieve Array *Li You, Zhang Junyong, Zhang Yanli, et al.* 0309003

· Spectroscopy ·

- Measurement Method of Atmospheric Column Concentration of Greenhouse Gas Based on Near Infrared Heterodyne Spectroscopy *Deng Hao, Yang Chenguang, Guan Linqiang, et al.* 0311001
Spectral Signal Stability of Laser-Induced Breakdown Spectroscopy System Integrated with Micro-Imager *Wang Huadong, Fu Hongbo, Jia Junwei, et al.* 0311002
Fast Classification of Tea Varieties Based on Laser-Induced Breakdown Spectroscopy *Xu Xiangjun, Wang Xianshuang, Li Angze, et al.* 0311003

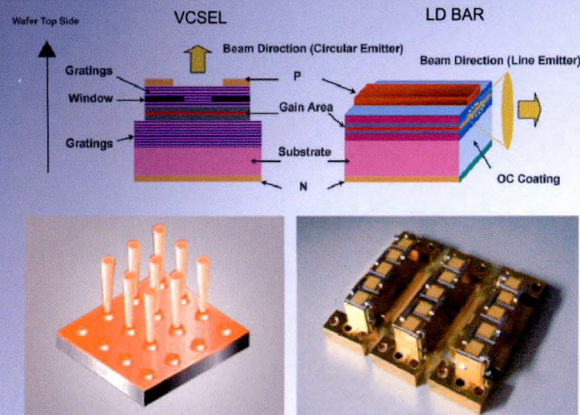
- Improvement of Beam Shape Modification on Stability of Laser Induced Breakdown Spectroscopy *Jia Junwei, Fu Hongbo, Wang Huadong, et al.* 0311004
Surface-Enhanced Raman Spectroscopy Quantitative Analysis of Polycyclic Aromatic Hydrocarbons Based on Support Vector Machine Algorithm *Chen Yang, Yan Xia, Zhang Xu, et al.* 0311005

- Influence of Fe³⁺ on SERS Performance of Phytic Acid Terminated Gold Nanoparticles *Zhang Lei, Zhang Xia, Liu Xiaoyu, et al.* 0311006

· Micro and Nano Optics ·

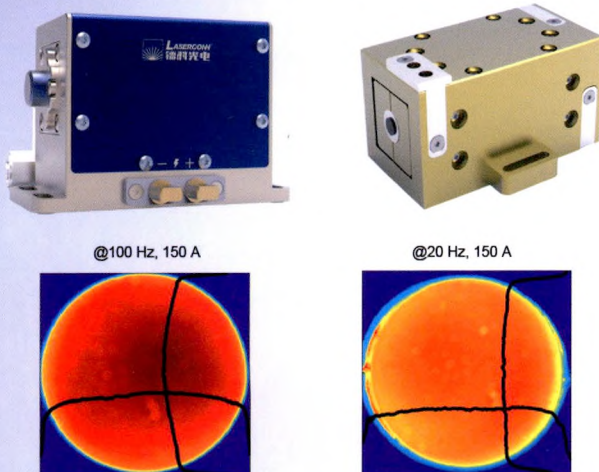
- Fabrication of Convex Blazed Grating with High Diffraction Efficiency *Liu Quan, Wu Jianhong, Guo Peiliang, et al.* 0313001

VCSEL 芯片及抽运阵列



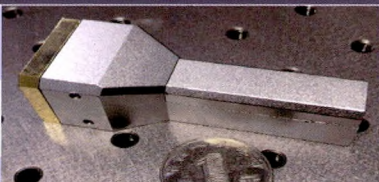
参数	VCSEL	LD BAR	VCSEL 优势
光谱宽度	~1 nm	~3 nm	窄线宽
波长温漂	0.07 nm/K	0.3 nm/K	温漂小
长期波长漂移	无漂移	漂移	长期稳定性高
工作温度	-45 — 85 °C	0 — 45 °C	耐高低温
准连续寿命	10 ¹⁰ — 2×10 ¹⁰ 次	10 ⁹ —2×10 ⁹ 次	5 — 10 倍寿命
功率衰减	线性衰减	非线性衰减	寿命可预测

VCSEL 抽运的激光增益模块



• 参数名称	水冷模块 (可定制)	风冷模块 (可定制)
• 重复频率	1 — 2000 Hz	1 — 100 Hz
• 抽运功率	1 — 27 kW	1.8 — 6 kW
• 储能范围	0.1 — 3 J @ 250 μs	0.1 — 0.6 J @ 250 μs
• 激光棒直径	2 — 15 mm	3 — 5 mm
• 抽运波长	800 — 810 nm	
• 适用晶体	Nd : YAG , Nd : YLF , Nd : Glass 等	
• 预期寿命	10 ¹⁰ — 2×10 ¹⁰ 次	
• 长寿命	• 均匀抽运	• 耐高温
	• 高稳定性	• 高可靠性

VCSEL 抽运的固体激光器应用 (VPSSL®)

应用方向	激光器类型	参数及特点	部分激光器图片
LIBS	端面抽运全固态风冷激光器 VPSSL®	20 Hz, 5 mJ, 5 ns 无主动温控	
激光测距	侧面抽运全固态激光器 VPSSL®	20 Hz, 100 mJ, 10 ns -45 — 85 °C	
钛宝石抽运	大能量固体激光器 VPSSL®	532 nm, 200 mJ 100 Hz, 15 ns	
医疗美容	皮秒 (亚纳秒) 种子源 VPSSL®	500 ps, 2.2 mJ, 100 Hz	
激光清洗	高重复频率大能量固体激光器 VPSSL®	100 — 1000 Hz, 100 — 500 mJ 长寿命	

